

مجله علمی پژوهشی مکانیک سازه‌ها و شاره‌ها

DOI: 10.22044/jsmf.2017.4496.2166

بررسی تجربی و شبیه سازی عددی بالستیک داخلی موتور موشک سوخت جامد

فرزاد توکلی‌فر^{۱*} و محمد‌مهدی فخاری^۲^۱ کارشناسی ارشد، دانشکده مهندسی مکانیک، دانشگاه صنعتی اصفهان^۲ دانشجوی دکترا، دانشکده مهندسی، دانشگاه بیرجند

مقاله مستقل، تاریخ دریافت: ۱۳۹۵/۰۴/۰۹؛ تاریخ بازنگری: ۱۳۹۶/۰۱/۳۰؛ تاریخ پذیرش: ۱۳۹۶/۰۹/۰۸

چکیده

در پژوهش پیش رو به مطالعه تجربی و عددی رفتار بالستیک داخلی موتور موشک سوخت برای سه گرین متفاوت کف سوز، پهلوسوز حلقوی و پهلو سوز همه طرف پرداخته شده است. به منظور صحت سنجی روش عددی توسعه داده شده برای این شبیه سازی، برخی حالات مورد شبیه سازی به بوته آزمایش گذاشته شده، نتایج شبیه سازی با نتایج تجربی حاصله مقایسه شد. نتایج تجربی و عددی با دقیق قابل قبولی منطبق بر یکدیگر بوده، به خصوص روش عددی به کار گرفته شده، رفتار فیزیکی موتور را به خوبی مدل سازی کرد. طبق نتایج حاصل از این پژوهش، با صرف نظر از اثرات جریان گذران، فشار محفظه احتراق، رابطه مستقیمی با سطح در حال سوزش دارد؛ همچنین با افزایش فشار محفظه احتراق، اثر پدیده سوزش فرسایشی بر عملکرد موتور کاهش می‌یابد. هرچه فشار محفظه احتراق بیشتر باشد، کارایی موتور و ضربه ویژه آن بیشتر می‌شود. معمولاً گرین کف سوز مساحت سطح در حال سوزش، ثابت و در نتیجه پروفیل ثابتی را برای فشار محفظه احتراق فراهم می‌کند. در گرین پهلو سوز حلقوی سطح در حال سوزش، همواره روندی افزایشی و در گرین پهلو سوز همه طرف سوز سطح در حال سوزش، همواره روندی کاهشی دارد.

کلمات کلیدی: گرین؛ پسروی؛ نرخ سوزش؛ سوزش فرسایشی؛ ضربه ویژه.

Experimental Investigation and Numerical Simulation of Solid Fuel Rocket Engine Internal Ballistic

F. Tavakolifar^{1,*}, M. Mahdi Fakhari²¹ MSc, Department of Mechanical Engineering, Isfahan Univ of Technology, Isfahan, Iran.² Ph.D. Student, Department of Mechanical Engineering Assoc. Prof., Mech. Eng., Birjand Univ., Birjand, Iran.

Abstract

The present survey focuses on experimental and numerical investigation of internal ballistic of Solid Fuel Rocket Engine (SFRE) for three different grains: bottom back-burning, annular side back-burning and all-side back-burning. To validate the developed numerical solution some experiments were performed and numerical results were compared to them. Accordingly the numerical results were compatible with that of experimental in an acceptable fashion which means the applied numerical method was appropriate to predict the behavior of SFRE. According to result, ignoring the transient effects, the combustion chamber pressure increased with increasing the area of burning region and vice versa. Also with increasing the combustion chamber pressure the effects of erosion burning declined. The more the combustion chamber pressure, the more the engine performance and the more the specific impulse were. Mostly the bottom back-burning grains provided constant-area burning region and consequently a constant pressure profile. Also area of burning region followed increasing and decreasing patterns for annular side back-burning and all-side back-burning respectively.

Keywords: Grain; Back-Burning; Burning Rate; Erosion Burning; Specific Impulse.

* نویسنده مسئول؛ تلفن: ۰۹۳۹۹۶۵۹۴۲؛ فکس: ۰۳۱۳۲۹۷۲۰۲۰

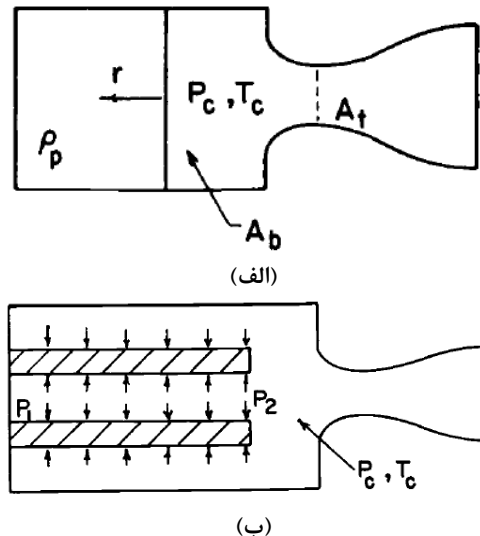
* آدرس پست الکترونیک: f.tavakolifar@me.iut.ac.ir

بنا به کاربرد وسیع موشک‌ها در صنایع مختلف اعم از نظامی و غیر نظامی، بسیاری از محققان به تحلیل، طراحی و شبیه‌سازی قسمت‌های مختلف موشک‌ها پرداخته‌اند. بالستیک داخلی موتور موشک، پیش‌رانش، آژودینامیک بدنه، سیستم کنترل، بهینه‌سازی و... از جمله موضوعات مورد مطالعه محققان بوده است. در این بخش از گزارش، مروری بر پیشینه مهمترین تحقیقات انجام شده در زمینه‌های یاد شده می‌شود. توکلی فر و همکاران [۲]، به بررسی تجربی و عددی اثر افزودن اجکتور بر رانش راکت سوخت جامد پرداخته‌اند. اجکتور مجرایی استوانه‌ای یا مخروطی شکل است که در انتهای نازل نصب شده، ممتنوم سیال خروجی از نازل را صرف شتاب دادن هوای محیط در این مجا را کرده، بازده پیش‌رانشی را به کمک این پدیده افزایش می‌دهد. همچنین توکلی فر و همکارانش [۳]، به بررسی تجربی اثر اجکتور بر پرواز راکت سوخت جامد پرداخته‌اند.

بهینه‌سازی موتور موشک سوخت جامد به روش‌های مختلف بهینه‌سازی، یکی از زمینه‌های پر طرفدار میان محققان است. بدین منظور برای هر کاربری خاصی لازم است، توابع هدف که همان پارامترهای موشک است، به نحوی انتخاب شوند تا عملکرد مطلوب موشک حاصل شود. بسته به کاربرد موشک، روش‌های مختلف بهینه‌سازی و طراحی در مراجع مختلف انجام شده است. نیسار و همکارانش [۴]، به طراحی و بهینه‌سازی دانه‌بندی سه بعدی FCG پرداخته‌اند. برای این کار، از روش بهینه‌سازی ترکیبی HO و الگوریتم ژنتیک استفاده شده است و با رانش، زمان سوختن و هندسه مشخص، جرم پیش‌ران کمینه شده است. کامران و همکارانش [۵]، یک موتور راکت سوخت جامد را با استفاده از یک روش فراتکاری بهینه‌سازی کرده‌اند. گوییا و همکارانش [۶]، به طراحی و بهینه‌سازی دانه‌بندی موتور موشک هیبریدی به روش ژنتیک الگوریتم چند زمینه‌ای^۳ پرداخته‌اند. در این پژوهش، چند نوع دانه‌بندی مختلف از جمله ستاره‌ای، حلقوی، چرخی شکل و چند لوله‌ای، مورد مطالعه قرار گرفته است. در برخی مطالعات، بهینه‌سازی روی هندسه سه بعدی گرین صورت گرفته است [۷]. برخی دیگر بهینه‌سازی را بر اساس فاز حرکت موشک انجام داده، برای هر فاز حرکت یک دانه‌بندی بهینه طراحی کرده‌اند [۸] و [۹].

۱- مقدمه

موتور موشک‌های سوخت جامد، از رایج‌ترین انواع موشک‌ها می‌باشند که در موارد نظامی متعددی نظری، سامانه‌های پدافند واکنش سریع، موشک‌های زمین به هو، هو به هو، خمپاره‌ها و برخی از درها کاربرد وسیعی دارند. در این نوع موتورها، سوخت جامد با شکل خاصی که گرین نامیده می‌شود، در محفظه احتراق جاگذاری شده، با شروع احتراق سوخت تا انتهای سوخته و تولید رانش می‌کند؛ بنابراین در نوع موتورها توقف احتراق وجود ندارد. شکل ۱-الف و ب دو نوع موتور موشک سوخت جامد با دو گرین متفاوت را نشان می‌دهد.



شکل ۱- موتور موشک سوخت جامد (الف) کفسوز [۱] و (ب) پهلوسوز [۱]

در موتورهای سوخت جامد کفسوز، سوخت از یک انتهای می‌سوزد و به انتهای دیگر گرین پیشروی می‌کند و لذا جهت سوختن محوری است. در این نوع موتورها، چون سطح مقطع سوزش کم است، برای دستیابی به رانش مطلوب باید سرعت واکنش بالا باشد. در موشک‌های سوخت جامد پهلو سوز، سوختن در جهت شعاعی است. در این نوع موتورها بر عکس موشک‌های سوخت جامد کفسوز، سطح مقطع سوزش بسیار بالاست، لذا برای دستیابی به مدت زمان مطلوب پرواز، سوخت موردن استفاده باید سرعت سوختن پایینی داشته باشد.

[۱۷]. در اين روش مراحل پسروي گرين به چند فاز تقسيم شده، در هر فاز سطح سوزش توسيع روابطي با فرم بسته محاسبه می شود.

برخي محققان نيز به بررسی و شبیه سازی فرایندهای گذرا در موتور موشك سوخت جامد پرداخته اند. مستوفی زاده و عباسی [۱۸]، به مدل سازی عددی فرایند روشن شدن گرين موتور موشك سوخت جامد در حالت گذرا پرداخته اند. روش ارائه شده توسط ايشان، امكان تخمين محل مناسب برای آتش زنه را برای طراح موتور فراهم می کند. گيانستيو و سراجlia [۱۹]، به بررسی عددی رفتار موتورهای سوخت جامد طويل در فرایند احتراق گذرا با استفاده از يك مدل غير دائم يك بعدی پرداخته اند. كالماير و همكاران [۲۰] نيز، تعديلات فشار داخل موتور سوخت جامد را در طی فرایند گذار موتور بررسی کرده اند؛ همچنین جانستون [۲۱]، به شبیه سازی و بررسی جريان محصولات احتراق در طول موتور موشك سوخت جامد در طی فرایند شروع سوزش پرداخته و نتایج حاصل از شبیه سازی را با نتایج تجربی مقایسه کرده اند.

همانطور که از نظر گذشت، اکثر روش های به کار گرفته شده برای تحليل پس روی گرين، روش های ابتکاري و فرا ابتکاري بوده، غالباً برای گستره وسعي از گرين ها عموميت ندارند. از اينرو عموماً برای دسترسی به حل سريع لازم است، برای هر گرينی تحليل پسروي خاصی انجام شود. در تحقيق پيش رو سعی بر آن است، مدلی برای تحليل بالستيك داخلی موتور موشك سوخت جامد برای سه نوع گرين پرکاربرد در صنایع نظامي کشور ارائه شود. روش ارائه شده در اين پژوهش، اين امكان را به طرح می دهد تا تنها با تغيير هندسه و نوع سوخت موتور دلخواه خود را طراحی کرده، نمودارهای فشار و رانش موتور را بر حسب زمان به دست آورد. به منظور اطمینان از صحت و دقت مدل ارائه شده، نتایج حاصل از حل عددی با نتایج تجربی برای دو گرين مورد نظر اين پژوهش مقایسه شده است. مهمترین دستاورده اين پژوهش، دستیابي به طراحی موتور در كوتاه ترين زمان و آسانترین روش ممکن است. اين امر بدین دليل است که تحليل پسروي با توجه به نوع گرين انتخاب شده است.

عمده اين بهينه سازی ها، مبتنی بر يك الگوريتم سعی و خط است. توكلي فر [۱۰]، به بهينه سازی گرين ستاره ای به کار رفته در سامانه ها پداشت و اكنش سريع به کمک روش نيمه تحليلي- نيمه عددی پرداخته است.

يکی از زمينه های مهم پژوهش در حوزه موتورهای موشك سوخت جامد، بررسی و شبیه سازی بالستيك داخلی موتور موشك است. منظور از بالستيك داخلی، فرایندهای احتراق و واكنشي سوخت جامد از لحظه شروع احتراق تا زمان خاموش شدن موتور است. پازوکي و همكارانش [۱۱]، به معرفی پaramترهای مختلف بر بالستيك داخلی موتور موشك سوخت جامد و بررسی تاثير هر کدام از اين پaramترها بر عملکرد موتور پرداخته اند. حيدري و قديري [۱۲]، به ارائه مدلی صفر بعدی برای تحليل موتور موشك هيبريدی پرداخته، تاثير پaramترهای مختلف را بر کاري اآن مطالعه کرده اند. زاهد زاده و جوارشكيان [۱۳]، به شبیه سازی دو بعدی بالستيك داخلی موتور موشك سوخت جامد بدون شبپوره با استفاده از روش VOF پرداخته اند. برای اين کار، دانه بندي سوخت به صورت استوانه توخالي بوده، يك نرمافزار بر مبنای روش حجم محدود و الگوريتم فشار مينا در يك شبکه جا به جا شده، به منظور شبیه سازی عددی جريان سیال قابل تراکم لزج داخل موتورهای موشك سوخت جامد بدون شبپوره توسعه داده شده است. حيدري و آمي [۱۴]، به تحليل گرين های خاص و شبیه سازی سريع بالستيك داخلی موتور موشك سوخت جامد پرداخته اند. در اين روش با تعریف نقاط هندسه و تشکیل گرين با استفاده از حل تحليلي به محاسبه سطح سوزش و پسروي هندسى سطح پرداخته شده است. قيسري و مير ساجدي [۱۵] نيز، به کمک روش منحنى های تراز، الگوريتم پيمایش مکعبی را برای شبیه سازی پسروي گرين سوخت جامد به کار گرفته اند. به منظور صحت سنجي روش به کار گرفته شده، نتایج حاصل از شبیه سازی با نتایج تجربی برای سه گرين مختلف حلقوی ساده، مربعی و شش ضلعی مقایسه شده است. روش های مختلف ديگري برای تحليل پسروي گرين ارائه شده است. از اين ميان می توان به کد SPP اشاره کرد [۱۶]. اين کد با تقسيم هندسه گرين به شكل های ساده تر، پaramترهای بالستيکی را در هر زمان محاسبه می کند. از ميان ديگر روش های تحليل پس روی گرين، روش ميدان فازي است

پیشرو جهت حل عددی رابطه ۵ استفاده شده است. با گستته سازی رابطه ۵ بر اساس روش یاد شده به دست می آید:

$$P_{s,i+1} = \frac{(\rho_f A_b, i [1 + ke, M_c, i] a P_{s,i}^n - CP_{s,i}) \cdot R \cdot T_s \cdot \Delta t + P_{s,i} \forall_i}{\forall_{i+1}} \quad (6)$$

برای حل رابطه اخیر لازم است، در هر گام زمانی مساحت سطح در حال سوزش یا جان سوخته ($A_{b,i}$) و همچنین حجم هندسی اشغال شده توسط محصولات احتراق برآورد شوند. این کار بایستی با در نظر گرفتن نحوه پیشروی سوخت و ملاحظات هندسی انجام شود. طبق فرضیه پیشروی سوخت جامد، در هر نقطه سوخت در راستای عمود بر جبهه شعله پیشروی می کند [۲۲]. در این پژوهش جهت اختصار از پرداختن به جزئیات ملاحظات هندسی و نحوه محاسبه دوپارامتر اشاره شده صرفنظر شده است و خواننده می تواند با در نظر گرفتن فرض اخیر، این دو پارامتر را به راحتی استخراج کند.

می توان نشان داد، نیروی رانش موتور حاصل از خروج گازهای محفوظه احتراق از نازل خروجی برابر است با [۲۵]:

$$Thrust = \rho_{ex} A_{ex} V_x^2 + A_{ex} (P_{ex} - P_a) = \dot{m} V_{ex} + A_{ex} (P_{ex} - P_a) \quad (7)$$

و طبق تعریف، ضربه‌ی ویژه‌ی موتور برابر است با:

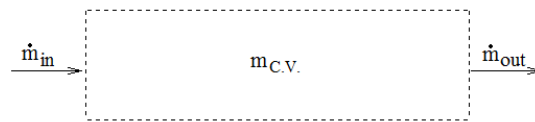
$$I_{sp} = \frac{Thrust}{\dot{m} g} \quad (8)$$

۳- آزمایشات تجربی

به منظور صحت سنجی روش عددی به کار گرفته شده در این پژوهش لازم است، برخی حالات مورد تست تجربی قرار گرفته تا از تطابق نتایج عددی و تجربی اطمینان حاصل شود. آزمایشات برای دو گرین کف سوز و حلقوی انجام شده است. برای گرین کف سوز، از تست پروازی موشک مجهز به موتور با گرین کف سوز و برای گرین حلقوی، از آزمایش تست استند آونگی استفاده شده است. شکل ۳ شماتیک موشک ساخته شده جهت تست پروازی را نشان می دهد. همچنین جدول ۱ حاوی مشخصات هندسی تست استند و موتور موشک سوخت جامد با گرین حلقوی به کار گرفته شده در این پژوهش است. شکل ۴ نیز، شماتیک تست استند آونگی را نشان می دهد.

۲- معادلات حاکم و روش عددی

جهت تحلیل بالستیک داخلی موتور موشک سوخت جامد، از دیدگاه حجم کنترلی استفاده می شود. شکل ۲ یک حجم کنترل فرضی داخل موتور موشک را نشان می دهد. مرز این حجم کنترل، سطح در حال سوزش سوخت جامد است. دبی جرمی وارد شده به حجم کنترل، دبی جرمی ناشی از سوختن سوخت جامد است؛ همچنین یک دبی خروجی از این حجم کنترل نیز، دبی خروجی از نازل موتور است.



شکل ۲- حجم کنترل درون موتور موشک سوخت جامد

معادله بقای جرم برای حجم کنترل شکل ۲ عبارتست از:

$$\frac{dm_{C.V.}}{dt} = m_{in} - m_{out} \quad (1)$$

با در نظر گرفتن ملاحظات هندسی جرم داخل حجم کنترل به سادگی قابل محاسبه است:

$$m_{C.V.} = \rho_{C.V.} \forall = \frac{P_s \forall}{RT_s} \quad (2)$$

طبق تئوری سوزش سوخت جامد داریم [۲۲]

$$m_{in} = \rho_f A_b a [1 + ke, M_c] P_s^n \quad (3)$$

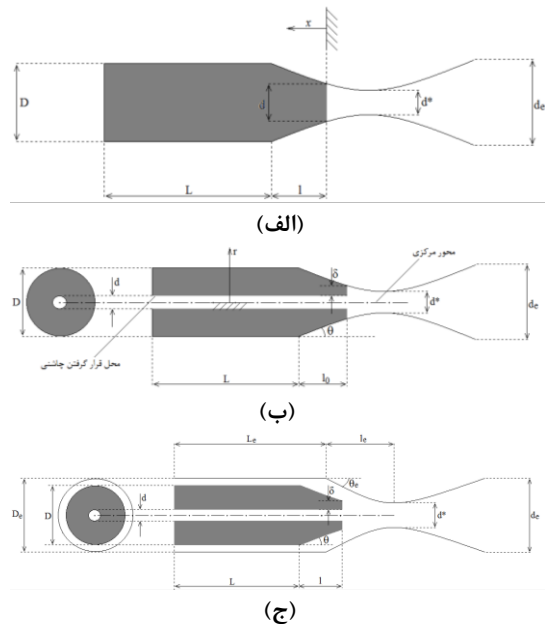
در آن جمله $[1 + ke, M_c]$ ، جمله اصلاحی ضریب سوزش به منظور در نظر گرفتن سوزش فرسایشی است؛ همچنین دبی خروجی از نازل برابر است با [۲۴]:

$$\dot{m} = \frac{P_s}{\sqrt{RT_s}} \sqrt{k} A^* M^* \left(1 + \frac{k-1}{2} M^{*2}\right)^{\frac{k+1}{2(1-k)}} = C P_s \quad (4)$$

با ادغام روابط اخیر و مرتب سازی آن و در نظر گرفتن این فرض که دمای محفظه‌ی احتراق ثابت و برابر دمای شعله آدیباتیک سوخت است [۲۲]، معادله اساسی حاکم بر رفتار بالستیک داخلی موتور موشک سوخت جامد به دست می آید:

$$\frac{1}{RT_s} \frac{d}{dt} (P_s \forall) = \rho_f A_b [1 + ke, M_c] a P_s^n - C P_s \quad (5)$$

معادله اخیر معادله‌ای مرتبه اول غیر خطی بوده که قادر حل تحلیلی است؛ لذا برای حل آن بایستی از روش‌های عددی کمک گرفت. در این پژوهش، از روش اویلر مرتبه اول

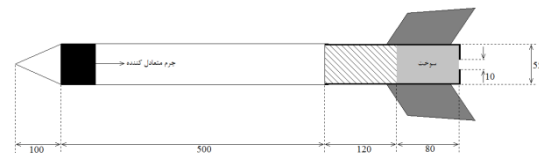


شکل ۴- شماتیک هندسه‌های در نظر گرفته شده: (الف)
گرین کف سوز، (ب) گرین حلقوی و (ج) گرین همه طرف سوز

مقادیر ابعاد هندسی و سوخت در نظر گرفته شده برای ارزیابی موتور با گرین‌های حلقوی و همه طرف سوز، دقیقاً یکسان است، ولی از آنجایی که سطح سوزش فراهم شده توسط گرین کف سوز به مراتب کمتر از دو نوع گرین دیگر است، برای آن مقادیر هندسی و سوخت متفاوت دیگری انتخاب شد. جداول ۲ و ۳ به ترتیب، مقادیر عددی پارامترهای هندسی و مشخصات ترموفیزیکی سوخت به کار گرفته شده برای گرین کف سوز و همچنین جداول ۴ و ۵ به ترتیب، مقادیر عددی پارامترهای هندسی و مشخصات ترموفیزیکی سوخت به کار گرفته شده برای دو نوع گرین دیگر را نشان می‌دهد.

جدول ۲- مقادیر عددی هندسه‌ی موتور مورد
مطالعه گرین کف سوز

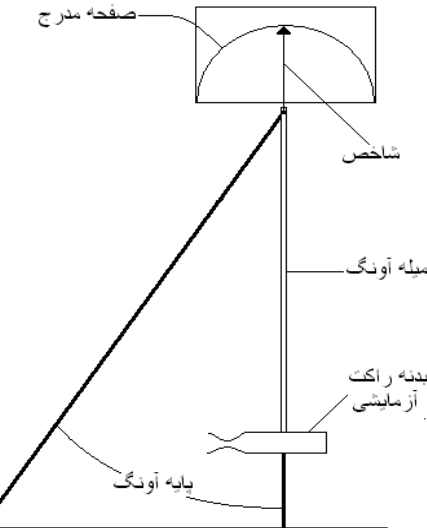
مقادیر عددی	پارامتر هندسی
۰.۲ m	L
۰.۱ m	l
۰.۱ m	D
۰.۰۵ m	d
۰.۰۵ m	d*
۰.۱ m	d _e



شکل ۳- شماتیک موشک طراحی شده (ابعاد به میلیمتر است)

جدول ۱- مشخصات هندسی موتور و
آونگ مربوط به گرین حلقوی

پارامتر	مقادیر عددی
قطر داخلی گرین	10 mm
قطر خارجی گرین	27 mm
طول گرین	52 mm
جرم موتور	250 gr
نوع نازل	orifice
قطر گلوگاه نازل	4.5 mm
طول آونگ	1000 mm
جرم آونگ	2000 gr



شکل ۴- شماتیک تست استند آونگی

۴- نمونه‌های مورد مطالعه

همانطور که قبلاً نیز عنوان شد، این مطالعه برای سه گرین کف سوز، حلقوی و همه طرف سوز انجام شده است؛ بنابراین برای هر کدام از این گرین‌ها، هندسه موتور و سوخت به خصوصی انتخاب شده است. شکل ۴ شماتیک هندسه‌های به کار گرفته شده در این شبیه سازی را نشان می‌دهد.

تحلیل پارامتریک استفاده می‌شود. در این روش در حالی که سایر پارامترها ثابت است، یک پارامتر را تغییر داده، رفتار موتور با تغییر دادن آن پارامتر ارزیابی می‌شود. لازم به ذکر است، در این روش واکنش کیفی موتور نسبت به تغییرات پارامتر مهم است نه مقادیر عددی مهم است.

۵- نتایج شبیه‌سازی موتور با گرین کف سوز
شكل ۵ نتایج نیروی رانش اندازه‌گیری شده از نتایج آزمایش پروازی را در مقایسه با نتایج شبیه‌سازی موتور مورد آزمایش نشان می‌دهد.

از آنجایی که موتور مورد آزمایش فاقد قسمت مخروطی و کاملاً به صورت استوانه‌ای بود، نیروی رانش می‌بایست کاملاً یکنواخت باشد که این رفتار از نمودار شکل اخیر کاملاً مشهود است. البته در نمودار تجربی، اندکی روند افزایشی مشاهده می‌شود که این امر ناشی از خطای محاسبات و عدم همگن بودن سوخت است، ولی به هر حال این روند افزایشی چندان قابل توجه نیست و می‌توان نمودار تجربی را با دقت قابل قبولی یکنواخت در نظر گرفت. نتایج تجربی نیروی رانش را حدود ۱۳۰ نیوتن و نتایج عددی حدود ۱۵۰ نیوتن نشان می‌دهد؛ همچنین نتایج شبیه‌سازی زمان کل کار موتور را حدود ۲ ثانیه و نتایج شبیه‌سازی این مقدار را حدود ۱/۶ ثانیه نشان می‌دهد؛ یعنی شبیه‌سازی برای این نمونه تجربی، نیروی رانش را حدود ۱۵ درصد بیشتر و زمان کار موتور را حدود ۲۰ درصد کمتر پیش‌بینی کرده است؛ بنابراین برای نمونه مورد آزمایش پروازی، نتایج شبیه‌سازی و تجربی با دقت نسبتاً قابل قبول منطبق بریدگیگر بوده، با اطمینان بیشتری می‌توان ادعا نمود، روش شبیه‌سازی به کار گرفته در این پژوهش، رفتار موتور موشک را به خوبی پیش‌بینی می‌کند.

شکل ۶ نمودار فشار محفظه احتراق را برای چهار قطر متفاوت قسمت استوانه‌ای سوخت نشان می‌دهد. همانطور که از این شکل مشخص است، با افزایش قطر قسمت استوانه‌ای، زمان کل کارکرد موتور کاهش می‌یابد و همچنین زمان سوختن قسمت مخروطی نیز کاهش یافته، فشار با شبیب بیشتری تا مقدار نهایی خود افزایش می‌یابد. نکته مهم دیگر این است که با افزایش قطر قسمت استوانه‌ای سوخت، تخلیه محفظه احتراق پس از اتمام سوخت با شبیب نسبتاً کندتری

جدول ۳- خواص ترموفیزیکی سوخت جامد مورد نظر برای موتور موشک سوخت جامد با گرین کف سوز

خاصیت ترموفیزیکی	مقدار عددی
n	0.185
a	0.0433 m/s
k	1.4
R	$300 \frac{\text{J}}{\text{Kg.K}}$
T	2500°K
ρ_f	$2000 \frac{\text{Kg}}{\text{m}^3}$

جدول ۴- مقادیر عددی هندسه‌ی موتور مورد مطالعه

پارامتر هندسی	مقدار عددی
L	0.1095 m
l	0.1105 m
θ	7.75°
D	0.076 m
d	0.01 m
d^*	0.012 m
d_c	0.030 m

جدول ۵- مقادیر عددی مشخصات ترموفیزیکی موتور مورد مطالعه

خاصیت ترموفیزیکی	مقدار عددی
n	0.367
a	$3.0181e - 5 \text{ m/s}$
k	1.236
ke	5
R	$350 \frac{\text{J}}{\text{kg.K}}$
T	2406°K
ρ_f	$1580 \frac{\text{Kg}}{\text{m}^3}$

۵- بحث و نتایج

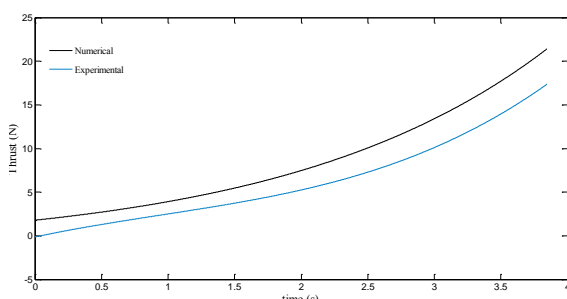
برای حل عددی هر گرین ابتدا لازم است با در نظر گرفتن ملاحظات هندسی گرین مربوطه سطح در حال سوزش و حجم اشغال شده توسط محصولات احتراق را محاسبه و سپس با حل عددی رابطه ۶، رفتار بالستیک داخلی موتور را به دست آورد. این کار برای هر گرین انجام شده که در این بخش مفصل به تحلیل نتایج به دست آمده پرداخته می‌شود. برای تحلیل نتایج پس از صحبت سنجی روش عددی، از روش

۲-۵- نتایج شبیه‌سازی موتور با گرین حلقوی

در این قسمت از گزارش به کمک دو دسته نتایج تجربی و عددی، به بررسی صحت روش عددی به کار گرفته شده پرداخته می‌شود. یک دسته نتایج تجربی گرین حلقوی که در همین پژوهش انجام شد و دسته دیگر، نتایج ارائه شده در تحقیقات پیشین است. نیروی رانش موتور مورد آزمایش با گرین حلقوی آزمایش شده در این پژوهش، به کمک داده‌های تجربی به دست آمده و با نتایج محاسبه نیروی رانش توسط روش عددی معروفی شده مقایسه شده است. نتایج این کار، در شکل ۸ مشاهده می‌شود.

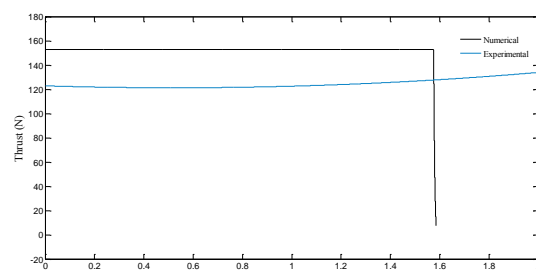
همانطور که از شکل اخیر مشاهده می‌شود، نتایج تجربی و عددی از تطابق نسبتاً قابل قبولی برخوردار بوده، متوسط انحراف نتایج عددی از تجربی حدود ۳۵ درصد است. اگرچه انحراف دو نتایج عددی و تجربی اندکی زیادتر از حد معمول است و رفتار افزایشی هر دو نمودار کاملاً منطبق برهم منطبق است. البته علاوه بر فرضیات مسئله، نحوه داده برداری از آزمایشات نیز، منشا خطا در مقدار داده‌ها است. با این حساب می‌توان اطمینان حاصل نمود، روش عددی انتخاب شده دارای دقت قابل قبولی است و می‌توان به کمک آن بالستیک داخلی موتور موشک سوخت جامد را شبیه‌سازی نمود.

پازوکی و همکارنش [۱۱]، مدلی جامع‌تری شامل در نظر گرفتن تغییرات دمای محفظه احتراق ارائه کردند. در این بخش، نتایج ارائه شده توسط ایشان با نتایج این پژوهش مقایسه شده، تاثیرات فرض ثابت گرفتن دمای محفظه احتراق مطالعه می‌شود. شکل‌های ۹ و ۱۰، نتایج مقایسه دو مدل ارائه شده را نشان می‌دهد.

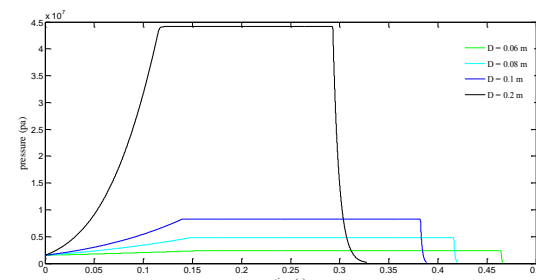


شکل ۸- مقایسه نتایج تجربی و عددی محاسبه رانش موتور گرین حلقوی مورد آزمایش

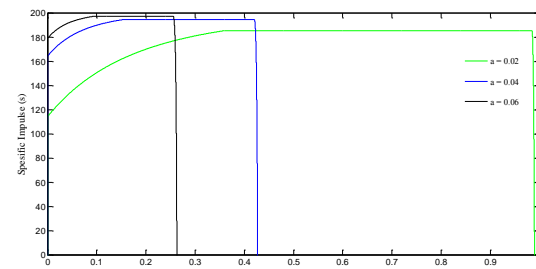
کاهش می‌یابد. مشخصاً با افزایش قطر قسمت استوانه‌ای، مقدار ماکریم فشار محفظه احتراق به طرز چشم‌گیری افزایش می‌یابد که این امر به دلیل افزایش سطح سوزش است. شکل ۷ نمودار ضربه ویژه موتور مورد مطالعه را به ازای سه نرخ سوزش متفاوت نشان می‌دهد. همانطور که از این شکل مشخص است، با افزایش ضربی نرخ سوزش، ضربه‌ی ویژه و به تبع آن کارایی موتور افزایش می‌یابد؛ همچنین با افزایش ضربی نرخ سوزش، میانگین ضربه ویژه در طول بازه کاری موتور نیز افزایش یافته، سبب کارایی دو چندان موتور می‌شود.



شکل ۵- نتایج نیروی رانش اندازه‌گیری و شبیه‌سازی شده برای موتور آزمایش پروازی



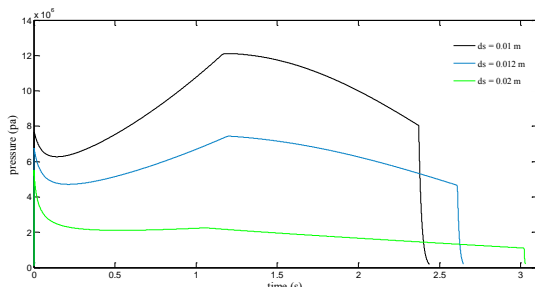
شکل ۶- نمودار فشار محفظه احتراق را برای چهار قطر متفاوت قسمت استوانه‌ای سوخت



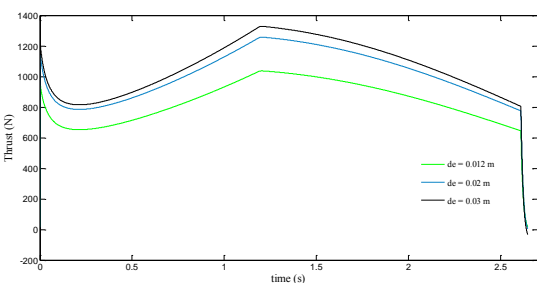
شکل ۷- نمودار ضربه‌ی ویژه موتور مورد مطالعه به ازای سه ضربی نرخ سوزش متفاوت

می‌گیرد. این پیک اولیه مشخصاً ناشی از پدیده سوزش فرسایشی گرین است. نکته قابل تأمل این است که با افزایش قطر گلوگاه موتور، اثر سوزش فرسایشی شدیدتر می‌شود، به نحوی که در قطر 20 mm فشار پیک خیلی بزرگتر از فشار متوسط کاری موتور است. این پدیده می‌تواند بسیار خطناک باشد و طراح حتماً بایستی ملاحظات اثر سوزش فرسایشی را در طراحی مقاومت مصالحی مدنظر قرار دهد. پس از مدتی اثر سوزش فرسایشی کمتر شده، با پسروی گرین و افزایش سطح در حال سوزش، فشار محفظه احتراق و به تبع آن رانش موتور تا مقدار ماکریتمی افزایش می‌یابد. پس از این پیک، اثر کاهش طول گرین بر افزایش قطر داخلی سوخت غالب شده، سطح در حال سوزش را به کاهش گذارد و در پی آن فشار محفظه احتراق کاهش می‌یابد. افت ناگهانی فشار در لحظات پایانی کار موتور نیز، مربوط به تخلیه محفظه احتراق است که پس از اتمام سوخت صورت می‌گیرد.

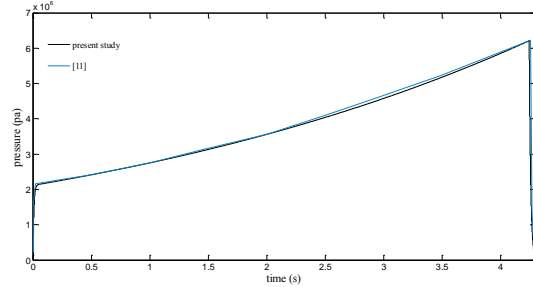
شکل ۱۲ نمودار نیروی رانش موتور را به ازای سه قطر متفاوت خروجی نازل نشان می‌دهد.



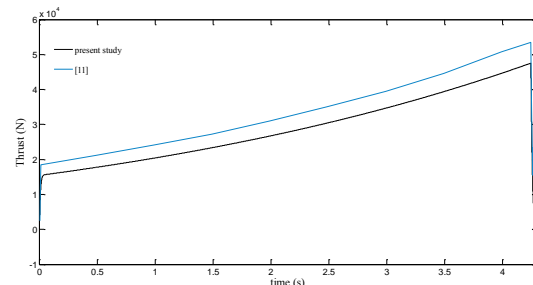
شکل ۱۱- نمودار فشار محفظه احتراق موتور مورد مطالعه به ازای سه قطر گلوگاه متفاوت



شکل ۱۲- نمودار نیروی رانش موتور به ازای سه قطر متفاوت خروجی نازل



شکل ۹- مقایسه فشار محفظه احتراق دو مدل مختلف

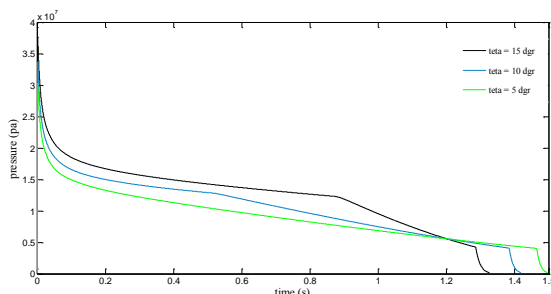


شکل ۱۰- مقایسه نیروی رانش دو مدل مختلف

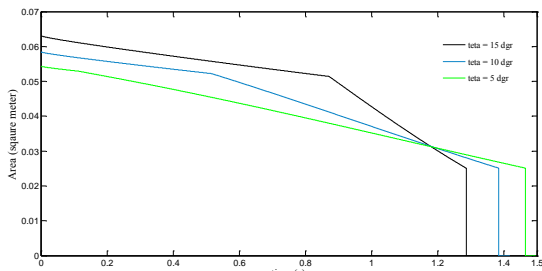
همانطور که دو شکل بالا نشان می‌دهد، نتایج حاصل از دو مدل کاملاً با یکدیگر تطبیق دارند و این امر حاکی از آن است که فرض دمای ثابت محفظه احتراق که در پژوهش حاضر در نظر گرفته شده است، فرض کاملاً قابل قبول و نسبتاً منطبق بر واقعیت است. با توجه به شکل ۹، نمودارهای فشار محفظه احتراق در دو مدل کاملاً با یکدیگر منطبق است، ولی با توجه به آنچه که در نمودار شکل ۱۰ مشاهده می‌شود، نیروی رانش حاصل از دو مدل اندکی با یکدیگر تفاوت قابل اغماض دارند. این تفاوت حاکی از تفاوت سرعت حریان در مقطع خروجی به خاطر اندک تفاوت اختلاف در محاسبه دما است؛ ولی به هر حال این تفاوت چندان قابل توجه نیست که بخواهد فرض مهم فرایند دما ثابت بالستیک داخلی موتور موشک سوخت جامد را زیر سوال ببرد.

شکل ۱۱ نمودار فشار محفظه احتراق موتور مورد مطالعه را به ازای سه قطر گلوگاه متفاوت نشان می‌دهد. همانطور که در شکل اخیر به تصویر کشیده شده است، با افزایش قطر گلوگاه نازل فشار کاری کاهش، زمان کار موتور افزایش می‌یابد. در هر نمودار مشاهده می‌شود، ابتدا نمودار یک پیک قابل ملاحظه داشته، سپس روندی کاهشی پی

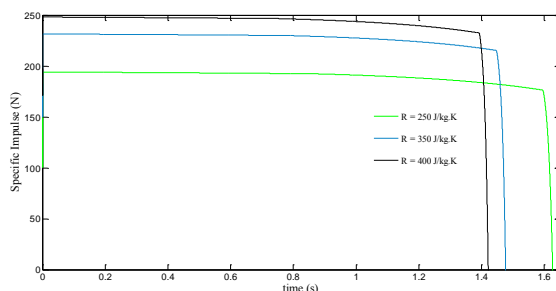
شکل ۱۵، نمودار ضربه ویژه موتور را به ازای سه مقدار متفاوت ثابت گاز نشان می‌دهد. همانطور که از این شکل مشخص است، با افزایش ثابت گاز مقدار ضربه ویژه موتور و به تبع کارایی ترمودینامیکی آن افزایش می‌یابد. تعبیر فیزیکی ثابت گاز این است که هرچه ثابت گاز بیشتر باشد، به ازای یک جرم مشخص از سوخت، حجم گاز بیشتری تولید می‌شود. این حجم بیشتر گاز، به معنی فشار بیشتر و در نتیجه کارایی بیشتر موتور است.



شکل ۱۳- نمودار فشار محفظه احتراق به ازای سه زاویه متفاوت مربوط به قسمت مخروطی



شکل ۱۴- نمودار سطح در حال سوزش به ازای سه زاویه متفاوت مربوط به قسمت مخروطی



شکل ۱۵- نمودار ضربه ویژه موتور را به ازای سه مقدار متفاوت ثابت گاز

همانطور که از شکل اخیر مشخص است، با افزایش قطر خروجی نازل، نیروی رانش موتور افزایش می‌یابد. البته این اثر محدود است و با افزایش بیشتر قطر خروجی نه تنها ممکن است رانش افزایش نیافته، بلکه به دلیل تشکیل موج ضربه‌ای داخل نازل، رانش مجدد کاهش یابد.

۳-۵- نتایج شبیه‌سازی موتور با گرین همه طرف سوز
قبل از پرداختن به نتایج شبیه‌سازی موتور با گرین همه طرف سوز لازم به ذکر است، از آنجایی که نمونه نتایج تجربی این نوع گرین در دسترس نبوده، همچنین ساخت این نوع گرین و آزمایش آن با پیچیدگی‌های خاصی مواجه بوده، از صحت سنجی برای روش عددی انتخاب شده برای تحلیل این نوع گرین صرف‌نظر شده و از آنجایی که روش عددی انتخاب شده در تحلیل دو نوع گرین قبلی صحت سنجی شد، در این بخش نیز از همان روش استفاده شده تا اطمینان حاصل شود روش عددی انتخاب شده مناسب است. شکل ۱۳ نمودار فشار محفظه احتراق را به ازای سه زاویه متفاوت مربوط به قسمت مخروطی نشان می‌دهد.

همانطور که از شکل اخیر مشخص است، با افزایش زاویه قسمت مخروطی حساسیت به پدیده سوزش فرسایشی بیشتر شده، پیک اول نمودار بیشتر می‌شود. در نمودار فشار محفظه احتراق یک شکستگی مشاهده می‌شود که پس از آن فشار با شبی بیشتری افت می‌کند. کاهش شبی قسمت مخروطی سبب می‌شود، این شکستگی به سمت چپ نمودار منتقل و نهایتاً محو شود. این شکست نمودار به خاطر تغییر ناگهانی طول قسمت مخروطی در اثر پیشروی سطح در حال سوزش است. با افزایش شبی قسمت مخروطی فشار کاری موتور بیشتر می‌شود. این امر به دلیل افزایش مساحت کل در حال سوزش با افزایش شبی قسمت مخروطی سوخت است.

نکته بسیار مهمی که در شکل ۱۳ مشاهده می‌شود، این است که در کل زمان کار موتور فشار محفظه احتراق همواره در حال کاهش است. این امر بدین دلیل است که در مورد گرین همه طرف سوز، مساحت در ابتدا ماکزیمم مقدار خود را داشته و با پیشروی سوزش رو به کاهش می‌گذارد. این موضوع از نمودار مساحت در حال سوزش که در شکل ۱۴ به تصویر کشیده شده است، نیز قابل دریافت است.

با افزایش ضریب و توان نرخ سوزش فرسایشی، افزایش ثابت گاز، افزایش چگالی سوخت جامد و کاهش نسبت گرمahای ویژه ضریب ویژه موتور افزایش می‌یابد و برعکس.

۷- فهرست علائم و نشانه‌ها

فشار (پاسکال)	P
دما (کلوین)	T
زمان (ثانیه)	t
ضریب نرخ سوزش فرسایشی (متر بر ثانیه)	a
توان نرخ سوزش فرسایشی	n
مساحت (متر مربع)	A
سرعت (متر بر ثانیه)	V
عدد ماخ	M
گرمای ویژه (کیلوگرم بر ژول درجه کلوین)	C _p
ثابت گاز (کیلوگرم بر ژول درجه کلوین)	R
نسبت گرمahای ویژه	k
ضریب سوزش فرسایشی	ke
دبی جرمی (کیلوگرم بر ثانیه)	m
ضریب دبی جرمی (کیلوگرم بر ثانیه پاسکال)	C
نیروی رانش (نیوتن)	Thrust
ضریب ویژه (ثانیه)	I
شتاب جاذبه زمین (متر بر مذبور ثانیه)	g
ضریب تخلیه نازل	C _d
طول قسمت استوانه‌ای گرین (متر)	L
طول قسمت مخروطی گرین (متر)	l
قطر خارجی گرین (متر)	D
قطر داخلی گرین و قطر نازل (متر)	d
مختصه محوری (متر)	x
پیشروی سوخت در امتداد شعاعی (متر)	r

۶- خلاصه و نتیجه گیری

آنچه در این گزارش از مد نظر گذشت، مطالعه تجربی و عددی رفتار بالستیک داخلی موتور موشک سوخت جامد بود. این کار برای سه گرین متفاوت کف سوز، پهلوسوز حلقوی و پهلو سوز همه طرف سوز انجام شد. به منظور صحت سنجی روش عددی توسعه داده شده، برخی حالات مورد شبیه‌سازی به بوته آزمایش گذاشته شده، نتایج شبیه‌سازی با نتایج تجربی حاصله مقایسه شد. آزمایشات شامل موتور با گرین کف سوز و گرین پهلو سوز حلقوی بود. لازم به ذکر است، نتایج تجربی و عددی با دقت قابل قبولی منطبق بر یکدیگر بوده، به خصوص روش عددی به کار گرفته شده، رفتار فیزیکی موتور را به خوبی مدلسازی کرد.

پس از اطمینان از صحت روش عددی به کار گرفته شده، برای هر گرین یک نمونه‌ای مورد مطالعه انتخاب شد و روی پارامترهای هندسی موتور و ترموفیزیکی سوخت به کار گرفته شده، مطالعه پارامتریک صورت گرفت. در ادامه برخی از مهمترین نتایج حاصله از این پژوهش به صورت فهرستوار از مد نظر گذشته می‌شود.

- گرین کفسوز کمترین مساحت سطح در حال سوزش را فراهم می‌کند. از این‌رو این نوع گرین مناسب سوخت‌های با نرخ سوزش خیلی زیاد است؛ همچنین پدیده سوزش فرسایشی در این نوع گرین اتفاق نمی‌افتد.

- در گرین‌های کف سوز معمولاً مساحت سطح در حال سوزش ثابت است، این ایجاب می‌کند که فشار محفظه احتراق نیز ثابت بماند.

- معمولاً در گرین‌های پهلو سوز افزایش دبی جرمی خروجی از نازل موتور، سبب افزایش تاثیر سوزش فرسایشی می‌شود.

- افزایش قطر خروجی نازل، سبب افزایش عدد ماخ جریان سیال خروجی و در نتیجه افزایش ضریب ویژه موتور می‌شود، ولی این اثر محدود و مشروط به عدم تشکیل موج ضریب‌های در نازل است.

- هر عاملی که سبب افزایش فشار محفظه احتراق شود، سبب کاهش حساسیت به پدیده سوزش فرسایشی می‌شود.

- [7] Kamran K, Guozhu L (2010) Design and optimization of 3D radial slot grain configuration. Chin J Aeronaut 23: 409-414.
- [8] Raza MA, Liang W (2012) Robust design optimization of dual thrust solid propellant motors due to burning rate uncertainties. Propellants Explos Pyrotech 37: 476-488.
- [9] Raza MA, Liang W (2012) Design and optimization of 3D wagon wheel grain for dual thrust solid rocket motors. Propellants Explos Pyrotech 37: 378-390.
- [10] توکلی فر، افشاری ا (۱۳۹۳) بهینه‌سازی دانه‌بندی موشک-های سوخت جامد سامانه پدافند واکنش سریع به روشی نیمه تحلیلی. اولین کنفرانس بین المللی و سومین کنفرانس ملی انجمن پیشرانش هوا-فضایی ایران.
- [11] پازوکی ف، نوین زاده ع ب، لبیبیان ا (۱۳۷۸) شبیه‌سازی بالستیک داخلی یک موتور سوخت جامد. مهندسی هوافضا ۳۱-۳۷.
- [12] حیدری م، قدیری ن (۱۳۹۳) مدل‌سازی صفربعدی و بررسی عوامل موثر بر بالستیک داخلی یک نوع موتور راکت هیبریدی. مواد پر انرژی ۵۳-۶۳ (۹).
- [13] زاهدزاده م، جوارشکیان م ح (۱۳۹۳) شبیه‌سازی بالستیک داخلی موشور سوخت جامد بدون شیپوره، با استفاده از روش VOF. اولین کنفرانس بین المللی و سومین کنفرانس ملی انجمن پیشرانش هوا-فضایی ایران.
- [14] حیدری م ر، آدمی ا ح (۱۳۹۱) تحلیل گرین‌های خاص و شبیه‌سازی سریع بالستیک داخلی موتور سوخت جامد. علوم و فناوری فضایی ۵۷-۸۰.
- [15] قیصری م، میرساجدی م (۱۳۹۳) بکارگیری الگوریتم پیمایش مکعبی در تحلیل سه بعدی پسروی گرین موتورهای سوخت جامد با روش منحنی تراز. مهندسی مکانیک مدرس ۸۵-۹۵ (۱۴).
- [16] French JC, Dunn SS (2002) New capabilities in solid rocket motor grain design modeling (SPP 02). 38th JANNAF Combustion Subcommittee Meeting, Nevada, ProQuest, 317-331.
- [17] Hartfield R, Jenkins R, Burkhalter J, Foster W (2003) A review of analytical methods for solid rocket motor grain analysis. in 39th AIAA/ASME/SAE/ASEE joint Propulsion Conference, Huntsville, Alabama.
- [18] مستوفی زاده ع، عباسی م (۱۳۹۲) مدل‌سازی عددی فرایند روشن شدن گرین موتور سوخت جامد در حالت گذرا. مواد پر انرژی ۲۷-۴۱.

زیرنویس‌ها	
سوژش	b
ویژه	sp
محیط	a
خروجی	ex
وروودی	in
حجم کنترل	C.V.
سوخت	f
شمارنده‌ی گام زمانی	i
گلوگاه	*

حروف یونانی	
چگالی (کیلوگرم بر متر مکعب)	ρ
اختلاف	Δ
زاویه قسمت مخروطی سوخت (رادیان)	θ
حجم (متر مکعب)	Δ

- مراجع

- [1] Oates G C (1975) Aerodynamics of gas turbine and rocket propulsion. 3th edn. American institute of aeronautics and astronauts.
- [2] توکلی فر، افشاری ا (۱۳۹۳) بررسی عددی و تجربی بکارگیری اجکتور بر رانش موتور راکت سوخت جامد. اولین کنفرانس بین المللی و سومین کنفرانس ملی انجمن پیشرانش هوا-فضایی ایران.
- [3] توکلی فر، عزیزی م، امینی م (۱۳۹۱) بررسی تجربی و شبیه‌سازی عددی اثرات به کارگیری اجکتور بر رانش موتور راکت سوخت جامد. پژوهه کارشناسی، دانشکده فنی مهندسی، دانشگاه اصفهان.
- [4] Nisar K, Guozhu L, Zeeshan Q (2008) A hybrid optimization approach for SRM FINOCYL grain design. Chin J Aeronaut 21: 481-487.
- [5] Kamran K, Guozhu L (2012) An integrated approach for optimization of solid rocket motor. Aerosp Sci Technol 17: 50-64.
- [6] Guobiao C, Hao Z, Dalin R, Hui T (2013) Optimal design of hybrid rocket motor powered vehicle for suborbital flight, Aerospace Science and Technology. J Propul Power 25(1): 114-124.

- [۲۳] فولادی ن، زینالعابدینی ا (۱۳۸۹) اصول طراحی سامانه های پیشرانش سوخت جامد. انتشارات دانشگاه صنعتی مالک اشتر.
- [۲۴] جان ج ا (۱۳۸۸) دینامیک گازها. ترجمه علی اکبر عالم رجبی، انتشارات دانشگاه صنعتی اصفهان.
- [۲۵] فاکس ر د، دونالد ال تی مک، پریچارد ف جی (۱۳۸۶) مقدمه ای بر مکانیک سیالات. ویرایش ششم. ترجمه بهرام پوستی. انتشارات نشر کتاب دانشگاهی.
- [۲۶] Patankar SV (1980) Numerical heat transfer and fluid flow. Hemisphere publishing corporation.
- [19] Giacinto MD, Serraglia F (2001) Modeling of solid motor start-up. AIAA-Paper 2001-3448.
- [20] Kallmeyer TE, Sayer LH (1982) Difference between actual and predicted pressure-time history of solid rocket motors. AIAA.
- [21] Johnstone WA (1995) Solid Rocket motor internal flow during ignition. J Propul Power 11(3).
- [۲۲] کریمی مزرعه شاهی ح، رزاقی ب (۱۳۹۳) مبانی طراحی موتور سوخت جامد. انتشارات سازمان صنایع دفاع.